

تعیین تغییرات توزیع وزن مولکولی قیر با تابع رئولوژیکی دلتا

Determination of Bitumen Molecular-weight Distribution via its Delta Rheological Function

علی اکبر یوسفی*

تهران، پژوهشگاه پلیمر و پتروشیمی ایران، پژوهشکده فرایند، گروه پلاستیک، صندوق پستی ۱۴۹۶۵/۱۱۵

دریافت: ۸۱/۹/۲۳، پذیرش: ۸۲/۴/۱۴

چکیده

در این پژوهش، توزیع وزن مولکولی قیر پایه و تغییرات آن در نمونه شاهد با استفاده از داده‌های تجربی رئولوژیکی زاویه فاز محاسبه و مدل دلتا (زاویه فاز) ارائه شده توسط استاستتا و همکاران از راه محاسبه زمانهای آسایش با استفاده از داده‌های تجربی رئولوژیکی هر دو قیر مطالعه شد. با توجه به توزیع وزن مولکولی محاسبه شده مشخص شد که گونه‌های مولکولی سازنده قیر هر دو نوع تغییر افزایش و کاهش وزن مولکولی یا اندازه تجمعات مولکولی (خوشها) را طی اختلاط در دمای بالا تحمل می‌کنند. از آنجاکه این گونه محاسبات قبلاً در مورد قیر پایه و شاهد انجام نشده بود، مشاهده کاهش وزن مولکولی یافته جدیدی است که در مطالعه رفتار قیرهای پلیمری باید در نظر گرفته شود. با توجه به غیرمختسب بودن این روش و عدم استفاده از حلال در تحلیل ساختار قیر، این روش را می‌توان به سهولت برای کنترل کیفیت و ساختار قیرها در هین تولید در پالایشگاه‌ها، تعیین عمر مفید مصالح ساخته شده از قیر و تغییرات ایجاد شده در کیفیت قیر مصرف شده بکاربرد.

واژه‌های کلیدی

قیر، رئولوژی، روش دلتا،
توزیع وزن مولکولی، زاویه فاز

مقدمه

(زمانهای آسایش) و در نتیجه در توابع رئولوژیکی ماده مانند گرانروی یا مدولهای کشسان (G') و اتلاف (G'') دارند. تعیین خواص رئولوژیکی از روی توزیع وزن مولکولی روشی مستقیم بوده و بسادگی می‌توان مدول آسایش ($G(t)$) نمونه و حتی طیف آسایش آن را با

Key Words

bitumen, rheology,
delta method,
molecular weight distribution,
phase angle

در این معادلات t زمان و ω فرکانس است. در هر مورد پس از داشتن مدول آسایش، طیف آسایش ($H(\lambda)$) با تقریب قابل محاسبه است:

$$G(t) = \int_0^{\infty} \frac{H(\lambda)}{\lambda} \exp\left(-\frac{t}{\lambda}\right) d\lambda = \int_0^{\infty} H(\lambda) \exp\left(-\frac{t}{\lambda}\right) d\ln \lambda \quad (5)$$

در این معادله λ زمان آسایش است. حتی از این روش با حذف مدول آسایش از محاسبات می‌توان تک تک توابع رئولوژیکی را به طیف آسایش بربط داد که برای اختصار معادلات مزبور در اینجا درج نمی‌شوند.

روشهای رئولوژیکی دیگری نیز وجود دارند که به روشهای G^* (مدول مختلط) و دلتا (δ ، زاویه فاز) مشهورند. در این دو روش از راه برازش مدل‌های ناپیوسته مدول مختلط و زاویه فاز در داده‌های رئولوژیکی و یک شبه طیف (pseudospectrum) می‌توان به توزیع وزن مولکولی دست یافت و نیازی به عملیات پیچیده و زمانبر محاسبه طیف آسایش و محاسبه مجدد داده‌های تجربی نیست. از طرفی، تابع دلتا نسبت به مدول مختلط حساسیت بیشتری به تغییرات وزن مولکولی و ساختاری دارد. از این‌رو، روش دلتانسبت به دیگر روشهای رئولوژیکی از مزیتهای زیادی برخوردار است.

کروماتوگرافی ژل تراوایی همیشه در حالت محلول انجام می‌شود. قیر از نظر ساختاری با پلیمرهای مصنوعی متفاوت است و بین اجزای آن برهم‌کنشهای فیزیکی وجود دارد که در پلیمرها وجود ندارد. حل شدن قیر باعث بروز مشکلاتی در تجزیه و تحلیل ساختار فیزیکی واقعی آن می‌شود. در مجاورت یک حل برهم‌کنشهای موجود در بین برخی از اجزای قیر (آسفالت‌ها در ساختار ژل) از بین می‌رود و تصویر متفاوتی از ساختار آن بدست می‌آید. حل کردن قیرهای پلیمر در حلالی مانند تتراهیدروفوران (THF) نیز به استخراج رونهای جذب شده از فاز پلیمر منجر می‌شود. از آنجا که در ناحیه ویسکوالاستیک خطی (LVE) ساختار مواد به هم نمی‌ریزد، بدست آوردن توزیع وزن مولکولی از اندازه‌گیریهای رئولوژیکی در این ناحیه می‌تواند جالب توجه باشد.

همان‌طور که اشاره شد، داده‌های رئولوژیکی بطور وسیعی در محاسبه توزیع وزن مولکولی (MWD) پلیمرهای خطی پکار رفته‌اند [۱-۱۴]. با آنکه قیر ساختار بسیار پیچیده‌ای دارد اندازه‌گیریهای رئولوژیکی بخوبی در محاسبه MWD قیرهای خالص و اصلاح شده با پلیمر پکار برده شده‌اند [۲۰-۱۵]. در این مراجع MWD قیر بدست آمده از GPC، آزمایش‌های رئولوژیکی و محاسبات مقایسه شده‌اند. ملاحظه شده است که GPC به وزنهای مولکولی کم حساس است، روش رئولوژیکی از دقت زیادی در محدوده وزنهای مولکولی زیاد برخوردار

دانستن توزیع وزن مولکولی محاسبه کرد. این ملاحظات نشان دهنده وجود ارتباط بین حوزه‌های فرکانس یا سرعت برش و وزن مولکولی و امکان تبدیل بین این دو حوزه بسیار متفاوت است. این نوع محاسبات نسبتاً ساده‌اند ولی اهمیت صنعتی شایانی ندارند. در حالی که عکس این عملیات یعنی استخراج توزیع وزن مولکولی از داده‌های رئولوژیکی از اهمیت بسیار زیادی برخوردار است. در جهت عکس باید ابتدا از داده‌های رئولوژیکی مدول آسایش یا طیف آسایش را بدست آورد. از نظر عملیات ریاضی این کار مانند تعیین یک انتگرال (طیف آسایش) از جواب آن (مدول آسایش) است (معادله ۵). بنابراین، جواب حاصل (تابع اولیه محاسبه شده یا همان طیف آسایش) منحصر بفرد نیست و جوابهای متعددی بدست می‌آیند. از راه محاسبه مجدد تابع رئولوژیکی و مقایسه آنها با داده‌های تجربی و تکرار عملیات برای به حداقل رساندن اختلاف، تنها در محدوده داده‌های تجربی استفاده شده، به صحت طیف آسایش محاسبه شده می‌توان پی‌برد. این نوع مسائل در ریاضی به نام مسائل ill-posed مشهوراند و حل آنها نیاز به تقریب‌های خاصی مانند تقریب تیخونوف دارد. در مراجع مختلف بطور مفصل به این موضوع پرداخته شده است [۱-۱۴]. ملموس‌ترین و ساده‌ترین مثال تعیین وزن مولکولی پلیمرها از گرانزوی ذاتی [۷] آنها به کمک معادله مشهور مارک-هوینک $KM^\alpha = \bar{M}_W^\alpha$ است. در این معادله K و α ضرایب ثابت ماده‌اند. از این روش M_V بدست می‌آید که به وزن مولکولی متوسط وزنی (\bar{M}_W) بسیار نزدیک است. ولی، تعیین توزیع وزن مولکولی یک نمونه پلیمری از راه رئولوژی کار بسیار پیچیده‌تری است و نیاز به دانستن همه پاسخهای مکانیکی ماده (طیف آسایش) دارد. ارتباط تابع مختلف رئولوژیکی با مدول آسایش و طیف آسایش را با معادلات پیوسته و ناپیوسته می‌توان نشان داد. در اینجا حالت‌های پیوسته معادلات ارتباط دهنده (رئولوژی-توزیع وزن مولکولی) برای مدل‌های کشسان و اتلاف نشان داده می‌شوند (معادلات ۱-۴):

$$G'(\omega) = \omega \int_0^{\infty} G(t) \sin(\omega t) dt \quad (1)$$

$$G''(\omega) = \omega \int_0^{\infty} G(t) \cos(\omega t) dt \quad (2)$$

$$G(t) = \frac{2}{\pi} \int_0^{\infty} \frac{G'(\omega)}{\omega} \sin(\omega t) d\omega \quad (3)$$

$$G(t) = \frac{2}{\pi} \int_0^{\infty} \frac{G''(\omega)}{\omega} \cos(\omega t) d\omega \quad (4)$$

حداقل موضعی در این منحنیهاست. M' در غلظتهاهای زیاد پلیمر صفر است، همان طورکه در مورد نمونههای زان زوتو و همکاران [۱۶] مشاهده شده است.

تعیین توزیع وزن مولکولی سیستمهای پیچیده مانند قیر با روشهای مانند کروماتوگرافی ژلتراوایی (GPC) کار ساده‌ای نیست. حداقل می‌توان گفت در یک مرحله نمی‌توان این کار را انجام داد. همان طورکه اشاره شد، زاویه فاز (۸) حساسترین تابع رئولوژیکی به تغییرات ساختاری و توزیع وزن مولکولی و ساختارهای فیزیکی و شیمیایی مواد است. در گذشته از این روش برای محاسبه تغییرات ساختاری قیرهای پلیمری استفاده شد [۱۸-۲۰]. آنچه در آن محاسبات در نظر گرفته نشده بود تغییرات ساختار قیر خالص (شاهد) در اثر گرمایش و اختلاط بود. برای لحاظ کردن این تغییرات، در این مقاله سعی شده است تا با تهیه قیر شاهد و مقایسه خواص رئولوژیکی آن با قیر پایه، این تغییرات بطور کمی محاسبه شود. از این‌رو، روش دلتا که قبلاً تشریح شده است برای محاسبه توزیع وزن مولکولی قیر پایه و شاهد بکاربرده شده و از مقایسه آنها تغییرات ساختاری حاصل نتیجه گیری شده است.

تجربی

مواد و دستگاهها

قیر استفاده شده در این پژوهش از شرکت Ultramar واقع در شهر کبک کانادا تهیه شده که درجه کارایی آن برابر ۲۸-۵۸ است. از دستگاه رئومتر Bohlin CVO برای اندازه‌گیریهای رئولوژیکی استفاده شده است.

روشها اختلاط

اختلاط قیر در یک مخلوط کن معمولی مجهز به همزن چهارپره ای به مدت یک ساعت در دمای 163°C انجام شد. سپس، از طریق شیر تخلیه زیر مخلوط کن، قیر به داخل ظروف فلزی قرار گرفته در آب سرد منتقل شد. برای جلوگیری از تغییرات ساختاری ظرف دارای نمونه در داخل یخچال قرار داده شد.

تجزیه رئولوژیکی

اندازه‌گیریهای رئولوژیکی به وسیله دستگاه رئومتر با استفاده از صفحات موازی دارای قطر 10 mm و 40 mm بسته به دمای آزمایش انجام شد. فرکانس اندازه‌گیریها در گسترده 0.002 rad/s تا 125 rad/s قرار داشت. قبل از آزمایشها، برای اطمینان از قرار گرفتن اندازه گیریها در ناحیه

است. در واقع، یک بزرگتر واقع در ناحیه وزنهای مولکولی کم را می‌توان به تفکیک مولکولهای سبک از ذرات آسفالت نسبت داد. از آنجا که GPC به اجزای سنگین قیر کمتر حساس است، نمی‌توان به وسیله آن این تغییرات آسفالت را تشخیص داد. مزیت ذکر شده دیگر قابلیت روش رئولوژیکی در تشخیص آسایش بین سطحی است که خود را به صورت یک پیک منفی در شبیه‌طیف نشان می‌دهد، در حالی که GPC اطلاعاتی درباره این پدیده بدست نمی‌دهد. بر پایه مشاهدات یاد شده، داده‌های رئولوژیکی قیرهای اصلاح شده و خالص برای بدست آوردن اطلاعات وزن مولکولی فراورش شده‌اند. بنا بر عقیده زان زوتو و همکاران [۱۵، ۱۶] زاویه فاز از مدول مختلط به تغییرات وزن مولکولی حساس است. با استفاده از قاعده حرکت مارگونه دوگانه [۴] زاویه فاز را با معادله زیر می‌توان به توزیع وزن مولکولی ربط داد:

$$\delta(\omega) = \int_0^\infty W(M') c(M', \omega) dM' \quad (6)$$

در این معادله $W(M')$ و $c(M', \omega)$ به ترتیب تابع توزیع وزن و زاویه فاز تک پراکنده و فرکانس است. با استفاده از تابع Heaviside و فرضهای زیر:

$$M' = k 10^{-ax}, \quad x = \log \omega \quad (7)$$

برای یک تابع توزیع وزن مولکولی بهنجار ($W(M')$) خواهیم داشت:

$$\delta(\omega) = 1 - \int_{M = k 10^{-ax}}^\infty W(M') dM' \quad (8)$$

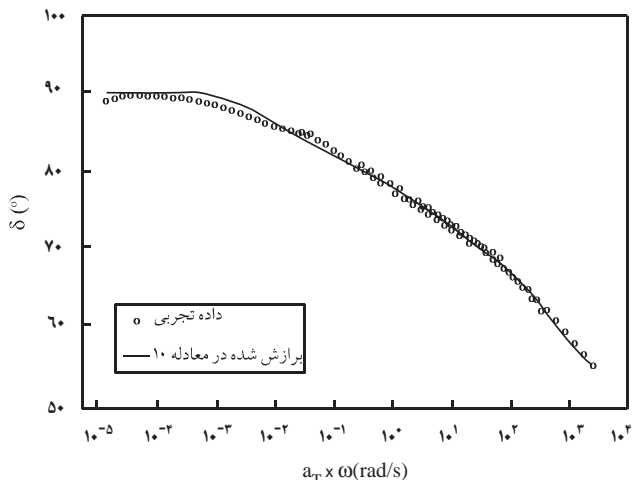
که در این معادلات M' وزن مولکولی و a و k ثابت‌اند. با دیفرانسیل گیری به کمک فرمول لاپیتیز معادله ۹ بدست می‌آید:

$$W(M') = - \frac{10^{ax}}{ak \ln 10} \frac{d\delta}{dx} \quad (9)$$

در حالی که $M' = k 10^{-ax}$ است. در مقاله دیگری استاستنا و همکاران [۱۸] مدل ناپیوسته‌ای را برای زاویه فاز قیرها پیشنهاد کرده بودند:

$$\delta(\omega) = 90 - \frac{1}{\beta} \left(\sum_1^n \arctan(\omega \lambda_k) - \sum_1^m \arctan(\omega \mu_k) \right) \quad (10)$$

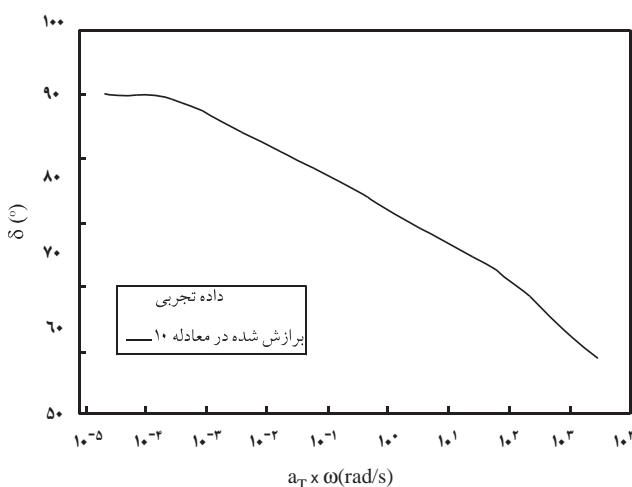
در این معادله $\beta = n-m$ ، λ_k و μ_k زمانهای آسایش و m و n ثابت‌اند. λ_k^1 نشان‌دهنده موقعیت یک حداکثر موضعی مثبت در منحنیهای μ_k^1 - $d\delta/d\log\omega$ است در حالی که μ_k^1 نشان‌دهنده موقعیت



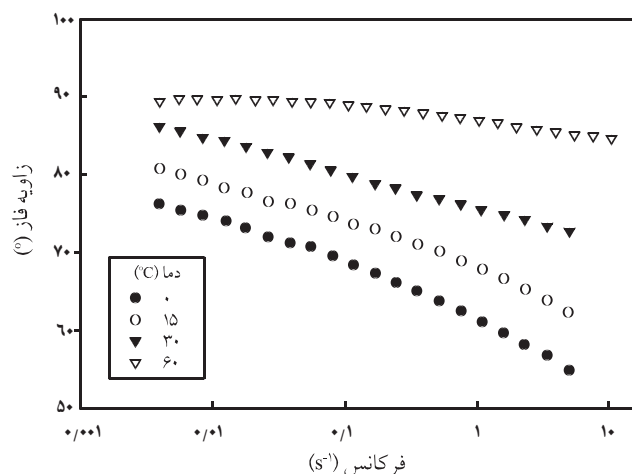
شکل ۳ - منحنی مادر زاویه فاز قیر پایه و منحنی برآزش یافته طبق مدل معادله ۱۰.

نمی شود. نکته جالب توجه درباره ضرایب جابه جایی این است که این ضرایب برای قیر شاهد نسبت به قیر پایه بزرگتر است. این موضوع نشان دهنده تغییرات ساختار فیزیکی شدیدتر قیر شاهد با دما در مقایسه با قیر پایه است. در عین حال، به دلیل انطباق خوب داده های مختلف در دمای های متفاوت می توان نتیجه گرفت که اصل انطباق دما - زمان به خوبی برای این دو سیال صدق می کند.

پس از بدست آوردن منحنیهای مادر، معادله ۵ به ترتیب با $n=11$ و $m=12$ در منحنی مادر زاویه فاز برآزش شد و به ترتیب ۱۱ و ۱۲ زمان آسایش برای قیر شاهد و پایه بدست آمد. زمانهای آسایش حاصل در جدول ۲ ارائه شده اند. به دلیل حفظ اختصار از توضیح کامل عملیات ریاضی در اینجا خودداری می شود. آنچه قابل توجه است تکرار یا



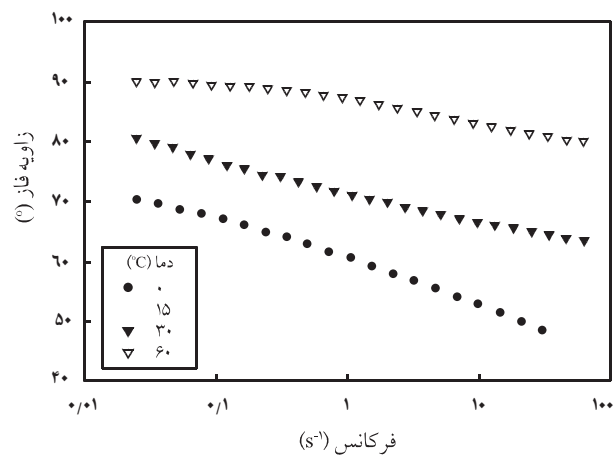
شکل ۴ - منحنی مادر زاویه قیر شاهد و منحنی برآزش یافته طبق مدل معادله ۱۰.



شکل ۱ - داده های رئولوژیکی تجربی زاویه فاز قیر پایه.
ویسکوالاستیک ماده روبش تنش در 10 rad/s انجام شد.

نتایج و بحث

منحنیهای تجربی داده های زاویه فاز قیرهای پایه و شاهد در دمای های 0°C و 60°C در شکل های ۱ و ۲ و منحنیهای مادر داده های تجربی تابع رئولوژیکی دلتای قیرهای پایه و شاهد در شکل های ۳ و ۴ نشان داده شده اند. این منحنیها از راه اصل برهم نهش دما - زمان و بر اساس اصل برهم نهش بولترمن داده های شکل های ۱ و ۲ بدست آمدند. ضرایب جابه جایی (a_T) هر دو قیر در دمای های مختلف در جدول ۱ گزارش شده اند. واستگی ضرایب جابه جایی قیرها در این محدوده دما معمولاً از نوع آرنیوس است که به دلیل خارج بودن از بحث به آن پرداخته



شکل ۲ - داده های رئولوژیکی تجربی زاویه فاز قیر شاهد.

جدول ۲- زمانهای آسایش برای قیر پایه و شاهد.

زمانهای آسایش (s)	
قیر شاهد	قیر پایه
$3/369 \times 10^{-5}$	$8/8417 \times 10^{-5}$
$3/369 \times 10^{-5}$	$8/8417 \times 10^{-5}$
$3/369 \times 10^{-5}$	$8/8417 \times 10^{-5}$
$1/149 \times 10^{-5}$	$8/8417 \times 10^{-5}$
$1/149 \times 10^{-5}$	$8/8417 \times 10^{-5}$
$1/149 \times 10^{-5}$	$8/8417 \times 10^{-5}$
$9/1518 \times 10^{-3}$	$2/7051 \times 10^{-4}$
$1/2170 \times 10^{-3}$	$2/7563 \times 10^{-3}$
$0/3404$	$0/0221$
$12/8556$	$0/2434$
$545/2679$	$9/2873$
	$616/6807$

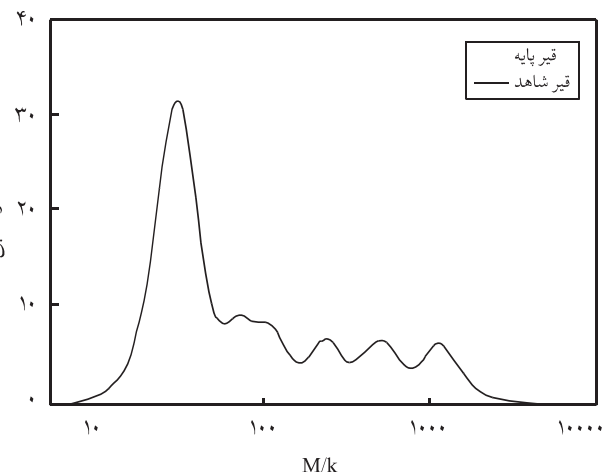
جزئی به سمت وزنهای مولکولی کم جایه جا شده‌اند. در عین حال، درصد این مواد افزایش یافته است. نکته قابل توجه دیگر ایجاد کاهش در $M/k = 180$ در توزیع وزن مولکولی قیر شاهد است و بیانگر این مطلب است که مواد این ناحیه از توزیع وزن مولکولی قیر تمایل به تغییر ساختار دارند. نکته مهم دیگر جایه جا شدن توزیع وزن مولکولی در محدوده وزنهای مولکولی کم ($M/k = 20-60$) به طرف وزنهای مولکولی کمتر است. این مشاهده با اطلاعات و نتایج گزارش قبلی [۱۸] مطابقت ندارد. در واقع، این کاهش وزن مولکولی نشان‌دهنده جذب این گونه ترکیبات با وزن مولکولی کم در فاز پلیمر قیرهای پلیمری است. در اطلاعات قبلی با وجود افزایش گرانروی و مدول قیر در مجاورت پلیمر گمان می‌رفت اجزای سازنده قیر تنها به سمت افزایش وزن مولکولی بروند. این پدیده را اثر پوشانندگی یا جذب به وسیله پلیمر می‌توان نامید. این نتایج توانایی روشهای رئولوژیکی را در تعیین تغییرات ساختار قیر و دیگر ترکیبات دارای ساختار شیمیایی و فیزیکی پیچیده طی عملیات فیزیکی و شیمیایی مختلف روشن می‌سازد. از این‌رو، روش دلتا را می‌توان برای کنترل عملیات هواده‌ی یا تقطیر مجدد پسماند برج خلاء در تولید قیر بکاربرد. این نوع کنترل فرایند منجر به تولید قیرهای با توزیع وزن مولکولی ثابت علاوه بر خواص فیزیکی معین خواهد شد. افزون بر این، استفاده از روش دلتا در تعیین تغییرات ساختاری قیر

جدول ۱- ضرایب جایه جایی قیرهای پایه و شاهد در دماهای مختلف.

a_T	60°C	30°C	15°C	0°C	قیر
پایه	۰/۰۰۰۶۱	۱	۱۰/۵	۸۳	
شاهد	۰/۰۰۰۸۷	۱	۲۷	۱۰۰	

نzedیک بودن برخی از زمانهای آسایش در مورد هر دو قیر است. این زمانهای آسایش تکراری می‌توانند به عنوان زمانهای آسایش اصلی در نظر گرفته شوند که به وزن مولکولی مشخص، ترکیبات همراه یا خوش‌های دارای اندازه‌های مختلف مولکولهای مجتمع شونده مربوط‌اند. دلیل تکرار این زمانهای آسایش می‌تواند زیاد بودن درصد این مواد در قیر باشد. نکته دیگری که در مورد این دو قیر مطرح است، طولانی‌تر بودن زمانهای آسایش قیر پایه در مقایسه با قیر شاهد است. هرچند انتظار می‌رفت همزدن قیر در دمای بالا منجر به تغییراتی در جهت افزایش وزن مولکولی آن شود [۱۸-۲۰]، ولی این نتایج بیانگر کاهش وزن مولکولی در اثر عمل مکانیکی همزدن است. البته، در هیچ یک از مطالعات قبلی تغییرات ساختار قیر شاهد بررسی نشده و فرض بر این بود که در اثر اختلاط گرم قیر به سوی وزنهای مولکولی بیشتر می‌رود.

دستیابی به یک برآذش مناسب مدل در داده‌های تجربی منحنی مادر زاویه فاز قیر پایه کار دشواری است. در صورتی که فرض شود خطاهای تجربی در حد معقول‌اند، آن گاه تغییرات توزیع وزن مولکولی قیر قابل محاسبه و تفسیر خواهد بود (معادله ۲). توزیع وزن مولکولی قیرهای پایه و شاهد بر اساس اطلاعات شکل‌های ۳ و ۴ و جدول ۲ در شکل ۵ رسم و با یکدیگر مقایسه شده‌اند. ملاحظه می‌شود وزنهای مولکولی زیاد بطور



شکل ۵- توزیع وزن مولکولی قیر پایه و شاهد محاسبه شده از داده‌های رئولوژیکی.

گر ما باعث کاهش وزن مولکولی برخی گونه‌ها در مقایسه با قیر شاهد می‌شود. البته داده‌های قبلی مبنی بر افزایش سهم گونه‌های دارای وزن مولکولی زیاد دوباره تایید شد. نکته دیگر کاهش ناحیه با وزن مولکولی کم در قیر شاهد است که مشخص کننده حساسیت این نوع ترکیبات به تغییر ساختار است. روش دلتا را برای کنترل فرایندهای مختلف تولید قیر و کنترل کیفیت آن می‌توان بکار برد. همچنین، از این روش تحلیل داده‌های رئولوژیکی برای تعیین عمر مفید فراورده‌ها و محصولات قیری قبل از مصرف و تعیین پیش‌دگی آنها پس از مصرف در محل کاربرد می‌توان استفاده کرد. این روش را می‌توان جایگزین روش‌های تجزیه شیمیایی کرد. در این روشها معمولاً از حلal استفاده می‌شود که باعث تغییر یا تخریب ساختارهای فیزیکی موجود در قیر می‌شوند.

قدرتانی

از اعضای گروه رئولوژی بخش مهندسی شیمی دانشگاه لاوال بویزه Mosto Bousmina و Abdellatif Ait-Kadi و پروفسور Proufessor به دلیل در اختیار گذاشتن مواد و رئومتر تشکر می‌شود.

در حین کاربرد در آسفالت یا عایق رطوبتی پس از تحمل شرایط مختلف محیطی مانند ترافیک، بارندگی و غیره اطلاعات زیادی در مورد تغییر رفتار قیر با مرور زمان (پیرشدگی) بدست خواهد داد. از این راه و با استفاده از اطلاعات حاصل و دانستن شرایط محیطی مؤثر روی قیر حتی می‌توان عمر مفید آسفالت و عایق رطوبتی یا هر محصول قیری دیگر را پیش‌بینی کرد. حتی از این روش می‌توان عمر باقیمانده و طی شده این گونه مواد را از راه مقایسه با خواص رئولوژیکی ماده قیری پایه معین کرد.

نتیجه گیری

روش رئولوژیکی دلتا روش سریع و دقیقی برای تعیین تغییرات ساختاری قیر در هنگام عملیات مختلف فرایند تولید و مصرف در کاربردهای مختلف است. اطلاعات حاصل بیانگر حساسیت گرمایی بیشتر خواص رئولوژیکی قیر شاهد به تغییرات دماست. برخلاف آنچه در مورد قیرهای پلیمری بدست آمده بود مشخص شد که همزدن قیر در

مراجع

- Shaw M.T. and Tuminello W.H., A Closer Look at the MWD-Viscosity Transform, *Polym. Eng. Sci.*, **34**, 159-165, 1994.
- Shroff R. and Marvidis H., New Measures of Polydispersity from Rheological Data on Polymer Melts, *J. Appl. Polym. Sci.*, **57**, 1605-1626, 1995.
- Tuminello W.H., Molecular Weight and Molecular Weight Distribution from Dynamic Measurements of Polymer Melts, *Polym. Eng. Sci.*, **26**, 1339-1347, 1986.
- Tuminello W.H., Relating Rheology to Molecular Weight Properties of Polymers, *Encyclopedia of Fluid Mechanics*, Cheremisinoff N.P. (Ed.), **9**, 209-242, Houston, 1990.
- Wood-Adams P.M. and Dealy J.M., Use of Rheological Measurements to Estimate the Molecular Weight Distribution of Linear Polyethylene, *Rheology*, **40**, 761-778, 1996.
- Marvidis H. and Shroff R., Appraisal of a Molecular Weight Distribution-to-Rheology Conversion Scheme for Linear Polyethylenes, *J. Appl. Polym. Sci.*, **49**, 299-318, 1993.
- Llorens J.M., Rude E. and Macros R.M., Polydispersity Index from Viscoelastic Data: Unimodal and Bimodal Linear Polymer Melts, *Polymer*, **44**, 1741-1750, 2003.
- Malkin A.Y.A. and Tieshev A.E., Flow Curve-Molecular Weight Distribution: Is the Solution of the Inverse Problem Possible, *Polym. Eng. Sci.*, **31**, 1590-1596, 1991.
- Anderssen R.S., The Pragmatics of Solving Industrial (Real World) Inverse Problems with Exemplification Based on the Molecular Weight Distribution Problem, *Inverse Problems*, **15**, R1-R40, 1999.
- Van Ruymbeke E., Keuning R. and Bailly C., Determination of Entangled Linear Polymers from Linear Viscoelasticity Data, *J. Non-Newtonian Fluid Mech.*, **105**, 153-175, 2002.
- Braun H., Eckstein A., Fuchs K. and Friedrich C., Rheological Methods for Determining Molecular Weight and Molecular Weight Distribution, *Appl. Rheol.*, **6**, 116-123, 1996.
- Van Ruymbeke E., Jeuning R., Stephenne V., Hagenaars A. and Bailly C., Evaluation of Reptation Models for Predicting the Linear Viscoelastic Properties of Entangled Linear Polymers, *Macromolecules*, **35**, 2689-2699, 2002.
- Wasserman S.H., *The Relationship Between Polydispersity and Linear Viscoelasticity in Entangled Polymer Melts*, PhD dissertation, Department of Chemical Engineering, Princeton University

- sity, USA, 1994.
14. Mead D.W., Determination of Molecular Weight Distribution of Linear Flexible Polymers from Linear Viscoelastic Material Functions, *J. Rheol.*, **38**, 1797-1827, 1994.
15. Stastna J., Zanzotto L. and Ho K., Fractional Complex Modulus Manifested in Asphalts, *Rheol. Acta*, **33**, 344-354, 1994.
16. Zanzotto L., Stastna J. and Ho K., Characterization of Regular and Modified Bitumens via their Complex Modulus, *J. Appl. Polym. Sci.*, **59**, 1897-1905, 1996.
17. Stastna J., Zanzotto L. and Kennepohl G., Dynamic Material Functions and the Structure of Asphalt, *Transportation Res. Record*, **1728**, 15-20, 2000.
18. Yousefi A.A., Ait-Kadi A. and Roy C., Composite Asphalt Binder: Effect of Modified RPE on Asphalt, *J. Mater. Civil Eng.*, **12**, 113-123, 2000.
19. Yousefi A.A., The Effect of Recycled Polyethylene on the Properties of Bitumen, *Geotechnique Mater. Strength J.*, **17**, 49-73, 1999.
20. Yousefi A.A., *Preparation and Rheological Behavior of Polymer-Modified Asphalt*, PhD thesis dissertation, Department of Chemical Engineering, Laval University, Canada, 1999.